

プレキャスト PC 連續合成桁橋のコンクリートのクリープおよび乾燥収縮差による二次応力について

— 異形鉄筋で連続する場合 —

森元峯夫*野見山維昭***
成田康夫**吉田強***

1. まえがき

比較的スパンが短かく、連数の多い高架橋等ではプレキャストPC桁と現場打ちコンクリート床版との組合せによる合成桁で、しかも支点上を異形鉄筋によって、連続した連続合成桁が用いられるようになり、現在わが国でも二、三の実例を見るようである。この場合、合成桁は普通活荷重合成であり¹⁾、まれに死活荷重合成²⁾の場合もある。

このような合成桁の場合に、プレキャストPC桁と現場打ちのコンクリート床版との間の、乾燥収縮差およびクリープ差によって、二次的な不静定応力が生じる。この種の合成桁の単純桁の場合は、近似計算法とか、クリープの変化状態を考慮した解³⁾が与えられ、一般に用いられている。

この種、連続合成桁の不静定二次モーメントは鉄筋コンクリートのプレキャスト部材による合成桁の場合⁴⁾と異なり、プレキャストPC桁のプレストレスが大きく影響するため、クリープによる不静定二次モーメントは後者のそれと比較して、かなりの差異を示す。

著者らは最近、このような問題に実際設計で当面したので、この問題を考えて見た。この場合、単純合成桁の場合のスパンモーメントを用いて、3連モーメント式が単純に計算すると誤差が大きいので、中間支点上の二次モーメントの時間的変化を考慮して求めた方が適切であると思う。

このように考えて実際設計で計算しやすいような方程式を誘導して、数値計算によりその影響を調べて見た。

2. 不静定二次モーメントの誘導（クリープによる場合）

いま、連続合成桁の支点の番号と不静定二次モーメントを 図-1 のように定める。

また、各荷重による支点のたわみ角を、おのおの次のように約束する。

図-1 基本構造系

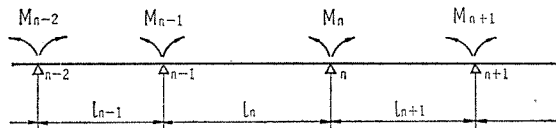


図-2 桁自重によるたわみ角 ($t=0$)

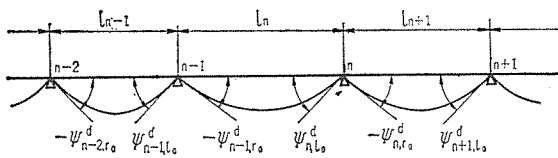
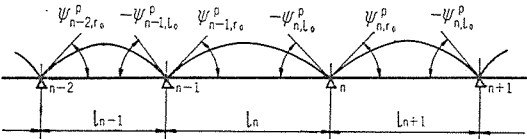


図-3 プレストレスによるたわみ角 ($t=0$)



(1) 柄自重およびプレストレスによるたわみ角
($t=0$)

図-2, 3にしたがって、プレストレス導入直後の支点のたわみ角は次のようになる。

$$\left. \begin{array}{l} \psi_{n,l_0} = \psi_n^d, l_0 + \psi_n^p, l_0 \\ \psi_{n,r_0} = +\psi_n^d, r_0 + \psi_n^p, r_0 \end{array} \right\} \dots \dots \dots (1)$$

ここに、

$\psi_{n,l_0}, \psi_{n,r_0}$: プレストレス導入直後の n 支点の左側および、右側の単純桁のたわみ角（元線より時計まわりに回転あるものと角とする）

ψ_n^d, τ_0 , ψ_n^d, r_0 : 柄自重による n 支点の左側および右側の単純柄のたわみ角（スパンの左側角、右側が正である）

ψ_{n^p, l_0} , ψ_{n^p, r_0} : プレストレスによる n 支点の左側および右側の単純桁のたわみ角（スペルの左側が正、右側が負である）

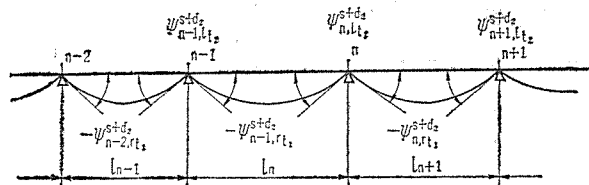
(2) 場所打ちスラブによるたわみ角 ($t = t_1$)

場所打ちスラブはプレキャストPC桁のプレストレス導入ののち、 $t=t_1$ の時間が経過したのち打設するものとする。

* *** ピー・エス・コンクリート株式会社研究部設計課

** ピニ・エス・ヨンクリート株式会社東京事務所設計課

図-4 床版および地覆、高欄、舗装によるたわみ角



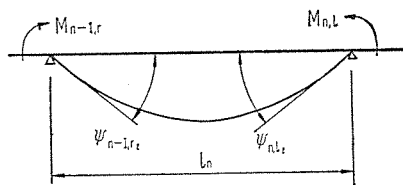
また近似的に、場所打ちスラブのコンクリートを打設してから地震、高欄、舗装荷重が作用する時間が短かいので、これらは $t=t_1$ に同時に作用するものと仮定する。

したがって、 ψ_{n,r,t_1}^s の中に前記の地覆、高欄、舗装荷重によるたわみ角（連続桁としてのたわみ角）をふくめて考える。

また、この時刻 $t=t_1$ では、個々のはりは連続桁作用をしているものとする。また、この後に生じるコンクリートのクリープによる支点モーメント（不静定二次モーメント）をそれぞれ、 $M_{n-2}, M_{n-1}, M_n, M_{n+1} \dots$ とする。

いま、単純桁 l_n を取出し、この単純桁の支点上にそれぞれ $M_{n-1,r}, M_{n,l}$ を作用させた場合の l_n のたわみ角は、それぞれ次のように表わされる。

図-5 支点モーメントによるたわみ角



$$\psi_{n-1,r,t_1} = \frac{l_n}{6EJ_n} (2M_{n-1,r} + M_{n,l}) \quad (2)$$

$$\psi_{n,l,t_1} = \frac{l_n}{6EJ_n} (M_{n-1,r} + 2M_{n,l}) \quad (3)$$

桁 l_n において、時刻 $t=t_1$ における床版を打設し、連続桁になった直後の弾性変形のみのたわみ角を重ね合わせれば次のようになる。

$$\left. \begin{aligned} \psi'_{n-1,r,t_1} &= \psi_{n-1,r,0} + \psi_{n-1,r,t_1}^s + \psi_{n-1,r,t_1} \\ \psi'_{n,l,t_1} &= \psi_{n,l,0} + \psi_{n,l,t_1}^s + \psi_{n,l,t_1} \end{aligned} \right\} \dots (4)$$

さらに、支点上が結合されたあとでは、次の条件式が成立する。

$$\frac{d\psi'_{n,l,t}}{dt} = \frac{d\psi'_{n,r,t}}{dt} \quad (5)$$

(2), (3) 式の値を (4) 式に代入して書きなおせば、弾性変形のみを考えた場合のたわみ角は次のようにになる。

$$\left. \begin{aligned} \psi'_{n-1,r,t_1} &= \psi_{n-1,r,0} + \psi_{n-1,r,t_1}^s + \frac{l_n}{6EJ_n} \\ (2M_{n-1,r} + M_{n,l}) & \\ \psi'_{n,l,t_1} &= \psi_{n,l,0} + \psi_{n,l,t_1}^s + \frac{l_n}{6EJ_n} \\ (M_{n-1,r} + 2M_{n,l}) & \end{aligned} \right\} \dots (6)$$

$$\left. \begin{aligned} \psi'_{n,r,t_1} &= \psi_{n,r,0} + \psi_{n,r,t_1}^s + \frac{l_{n+1}}{6EJ_{n+1}} \\ (2M_{n,r} + M_{n+1,l}) & \end{aligned} \right\}$$

(6) 式は弾性変形のみによる時刻 $t=t_1$ におけるたわみ角を表わしている。

Dischinger によれば、クリープの問題に関して、弾性ひずみと塑性ひずみの関係は次のようになる。

$$\epsilon_{\text{elast}} + \epsilon_{\text{plast}} = \epsilon_0 + \epsilon_0 \cdot \varphi_n (1 - e^{-t}) \quad \dots \dots \dots (7)$$

さらに、時刻 t_1 において作用する持続荷重の場合には、

$$\left. \begin{aligned} \epsilon_{\text{elast}} + \epsilon_{\text{plast}} &= \epsilon_0 + \epsilon_0 \cdot \varphi_n (e^{-t_1} - e^{-t}) \\ \varphi_t &= \varphi_n (1 - e^{-t}) \end{aligned} \right\} \dots \dots \dots (8)$$

であるから、これらの関係を用いて、時刻 $t=t_1$ において、連続構造となったのちのクリープの進行時間を $t=t_1$ から t とすれば、時刻 (t_1+t) では、

$$\varphi_{(t_1+t)} = \varphi_n (1 - e^{-(t_1+t)}) \quad \dots \dots \dots (9)$$

となる。

したがって、(6) 式をさらに、コンクリートのクリープ変形をも考慮して、時刻 $t=t_1$ からさらに t 時間後のたわみ角を求めれば次のようになる。

$$\begin{aligned} \psi'_{n,r,t} &= \psi_{n,r,0} + \psi_{n,r,t_1}^s \cdot \varphi_n (1 - e^{-(t_1+t)}) + \psi_{n,r,t_1}^s \\ &+ \psi_{n,r,t_1}^s \cdot \varphi_n (1 - e^{-t}) + \frac{l_{n+1}}{6EJ_{n+1}} (2M_{n,r} \\ &+ M_{n+1,l}) + \frac{l_{n+1}}{6EJ_{n+1}} (2M_{n,r} + M_{n+1,l}) \\ &\times \varphi_n (1 - e^{-t}) \end{aligned} \dots \dots \dots (10)$$

$\psi'_{n,r,t}$ の時間的変化は dt で微分して得られ次のようにになる。

$$\begin{aligned} \frac{d\psi'_{n,r,t}}{dt} &= \psi_{n,r,0} \cdot \frac{d\varphi_{(t_1+t)}}{dt} + \psi_{n,r,t_1}^s \cdot \frac{d\varphi_{(t)}}{dt} \\ &+ \frac{l_{n+1}}{6EJ_{n+1}} \left(2 \frac{dM_{n,r}}{dt} + \frac{dM_{n+1,l}}{dt} \right) \\ &+ \frac{l_{n+1}}{6EJ_{n+1}} (2M_{n,r} + M_{n+1,l}) \cdot \frac{d\varphi_{(t)}}{dt} \end{aligned} \dots \dots \dots (11)$$

場所打ちスラブの打設により、プレキャスト P C 桁を連続にしたのちは、次の連続条件式が成立する。

$$M_{n,l} = M_{n,r}, \quad \frac{d\psi'_{n,l,t}}{dt} = \frac{d\psi'_{n,r,t}}{dt} \quad \dots \dots \dots (12)$$

(12) 式の条件式を用いて、 $d\varphi_t$ で割り dt をかければ、同次微分方程式が得られる。また、(11) 式と同様に、 $\psi'_{n,l,t}$ の時間的変化率は次のようにになる。

$$\begin{aligned} \frac{d\psi'_{n,l,t}}{dt} &= \psi_{n,l,0} \cdot \frac{d\varphi_{(t_1+t)}}{dt} + \psi_{n,l,t_1}^s \cdot \frac{d\varphi_{(t)}}{dt} \\ &+ \frac{l_n}{6EJ_n} \left(2 \frac{dM_{n,l}}{dt} + \frac{dM_{n-1,r}}{dt} \right) \\ &+ \frac{l_n}{6EJ_n} (2M_{n,l} + M_{n-1,r}) \cdot \frac{d\varphi_{(t)}}{dt} \end{aligned} \dots \dots \dots (13)$$

(13) 式の $\frac{d\varphi_{(t_1+t)}}{dt}$ は次のように表わされる。

報 告

(PC 桁と床版の乾燥収縮ひずみ差)

E_s : 床版コンクリートの弾性係数

A_s : 床版コンクリートの断面積

$\left(y' + \frac{t}{2}\right)$: 合成断面の図心と床版の図心との距離

(2) (1) で計算された Differential Shrinkage Moment はコンクリートのクリープの影響を考えないものであるから、この影響を考慮するために、 M_s に、 $(1-e^{-\varphi t})/\varphi_t$ の係数を乗すればよい。この係数は $\varphi=2.0$ のとき $(1-e^{-\varphi})=0.87$, $(1-e^{-\varphi})/\varphi=0.43$ となる。また、 ε_s は床版とプレキャスト PC 桁の乾燥収縮差であるから、これらの両コンクリートの材質、温度、湿度、床版と主桁の形と大きさ、両コンクリートの材令差などによって決まるものである。したがって、この ε_s を決めるときは以上の要素を念頭において決めるべきであるが、PC プレキャスト桁の場合は、この Differential Shrinkage によって、クリープによる、正の不静定二次モーメントを減少させるように作用するから、 ε_s の値は、小さ目の値⁵⁾ を用いるのがよいようである。

次に、床版コンクリートの E はこの Differential Shrinkage によるひずみが発達している間、連続的に変化する。しかし E は最初の数日で急速に増加し、その後は、ほとんど一定となるので、計算に用いる E 値は、床版コンクリートの σ_{28} に対応する値を用いればよい。

等スパンの 3 経間連続合成桁の場合のこの Differential Shrinkage による不静定二次モーメントは中間支点において次の値となる。

$$M_{\text{dif},s} = -\frac{6}{5} M_s \frac{(1-e^{-\varphi})}{\varphi} \quad \dots \dots \dots \quad (23)$$

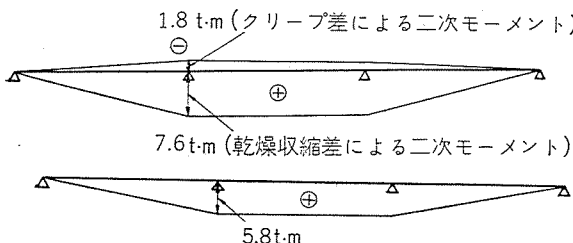
(23) 式において、 $M_s > 0$ であるから、 $M_{\text{dif},s}$ は常に負の値となり、クリープによる不静定モーメントと反対方向に作用する。例えば図-7 の合成桁の場合にプレキャスト PC 桁の材令 45 日において、床版コンクリートを打設するものとすれば、床版コンクリートとプレキャスト PC 桁との乾燥収縮差 ε_s は、

$$\varepsilon_s = 15 \times 10^{-5} - 7.8 \times 10^{-5} = 7.2 \times 10^{-5},$$

$$E_s = 3.5 \times 10^6, \quad A_s = 1.606 \text{ cm}^2, \quad y' + \frac{t}{2} = 31.2 \text{ cm}$$

$$\therefore M_s = 7.2 \times 10^{-5} \times 3.5 \times 10^6 \times 1.606 \times 10^3 \times 31.2$$

図-8 クリープおよび乾燥収縮による二次モーメント



$$\times \frac{(1-e^{-\varphi})}{\varphi} = 126.3 \cdot \left(\frac{1-e^{-\varphi}}{\varphi} \right) t \cdot m$$

いまクリープ係数 $\varphi_{(45)}=1.035$ とすれば

$$\varphi_{\infty} - \varphi_{(45)} = 0.965 \quad \therefore \quad \frac{1-e^{-0.965}}{0.965} = 0.6$$

$$M_s = 126.3 \times 0.6 = 7.6 \text{ t} \cdot \text{m}$$

以上の計算結果を図示すれば 図-8 のようである。

5. む す び

以上のようにして、PC プレキャスト単純桁と RC 床版による連続合成桁の、コンクリートのクリープおよび乾燥収縮による不静定二次モーメントの計算ができる。

普通の施工法では、コンクリートのクリープによるものよりも、乾燥収縮による影響の方が大きい。またこれらの不静定二次モーメントによって反力移動が生じるが、この値は、不静定二次モーメントを用いて容易に計算できる。この不静定二次モーメントは、本文で用いた計算例では、支点上の設計曲げモーメントに対し約 12 % 側経間の 4 点に対して、2.5% 中央経間のスパン中央に対して 7% 程度の比率となっている。

以上のことから、中間支点に対しては、きわめて有利に作用するが、スパン中央では逆にかなりの負担となつて作用することがわかる。

しかし、この不静定二次モーメントは、工期が許せば一般の PC 連続桁のプレストレスによる不静定二次モーメントと同様、適当に調整できる。このようなことから死活荷重合成の PC 連続合成桁が考えられるが、死活荷重合成の合成連続桁は、連続構造とするとき、端支点を順次ジャッキ ダウンしながら合成する作業労力に比して、クリープと乾燥収縮による負モーメントの減少が大きいので、実際には、あまり効果的な方法ではないよう思われる。以上 PC プレキャスト桁を用いた連続合成桁における、コンクリートのクリープ差と乾燥収縮、による不静定二次モーメントについて述べたが、この種の構造物の設計に少しでも、御参考になればこの小論の目的は達せられたと思う。

参 考 文 献

- 1) 猪股俊司：プレキャスト PC 連続橋、PC 協会誌 Vol. 3, No. 5, October 1961.
- 2) Earl D. Bishop : Continuity Connection for Precast Prestressed Concrete Bridges, J.A.C.I., April 1962, Proceedings V. 59, No. 4.
- 3) 坂・岡田・六車：プレストレスコンクリート 朝倉書店
- 4) Herrmann Rühle : Die Herstellung statisch unbestimmter Systeme durch nachträgliche Verabbindung von Stahlbeton-fertigteilen, Beton und Stahlbetonbau 49, Jahrgang Heft 2, Februar 1954.
- 5) A. H. Mattock : Precast-Prestressed Concrete Bridges, 5. Creep and Shrinkage Studies, J. of the PCA Research and Development Laboratories, May 1961.

1962.10.22・受付



すぐれた引抜技術

最新の冷間圧延！

当社は冷間引抜 PC 鋼線・PC 鋼より線のメーカーとして最高品質を誇っております。異形 PC 鋼線はわが国で唯一の最新設備、ワイヤ・コールドローリング・ミルによって造られ、次のようなすぐれた特徴をもち御好評を得ております。

- ①付着長が極めて短くなりますから
プリテンショニング工法においても
太径の PC 鋼線が使用できます。
- ②さび付けしなくとも充分な付着が得
られます。
- ③載荷重におけるひびわれの間隔を少
くすることができます。

スズキ，PC 鋼線
スズキ，PC 鋼より線

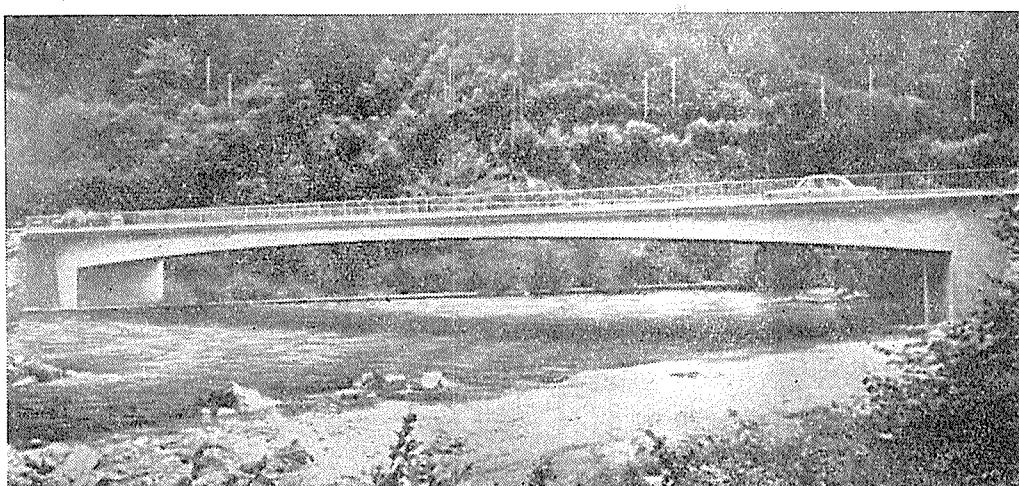
異形 PC 鋼線

鈴木金属工業株式会社
本社 東京都北区袋町 2-1430 (C)
電話 (901) 4176 (代)
名古屋支店 名古屋市中村区新名古屋ビル南館
電話 (55) 1798

BBRV 工法による道路橋

営業案内

並びにタンク
一、ポストテンションギング (P・S) 橋梁及び建築
一、プレテンショニング (P・S) 柄並びに版その他
一、コンクリート・ポール、コンクリート・パイプ
一、藤式 V 型ブロック、その他セメント二次製品



橋長 58m, 型式ラーメン

建設業者登録 建設大臣 (ホ) 第 5257 号



北海道ピー・エス・コンクリート株式会社

本社・東京営業所	東京都豊島区巣鴨 6 の 1344 (大塚ビル 4 階) TEL (983) 4176~9
札幌営業所	札幌市北三条 4 丁目 (第一生命ビル) TEL (4) 5121 (代表)
幌別工場	北海道幌別郡幌別町字千歳 TEL 幌別 66・220
掛川工場	静岡県掛川市富部 (34年9月1日操業開始) TEL 掛川 1420・1421